

01;07;08;09

## О РЕШЕНИИ ДВУХМЕРНОГО СТАЦИОНАРНОГО УРАВНЕНИЯ ШРЕДИНГЕРА С ПОТЕНЦИАЛОМ СПЕЦИАЛЬНОГО ВИДА

© В.А.Карпенко

Институт прикладной оптики АН Белоруссии,  
212793 Могилев, Белоруссия  
(Поступило в Редакцию 28 июля 1995 г.)

Двухмерная задача на собственные значения и собственные функции, принадлежащие дискретному спектру, приближенно сведена к одномерной задаче для случая, когда потенциал  $\varepsilon(x, y)$  представим в виде  $\varepsilon(x, y) = \varepsilon_1(x)$  при  $|y| > b$ ,  $\varepsilon(x, y) = \varepsilon_2(x)$  при  $|y| \leq b$ . Установлена связь принятого нулевого приближения с результатом метода самосогласованного поля.

### Введение

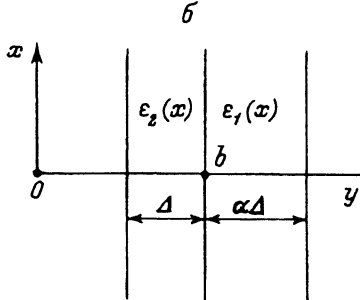
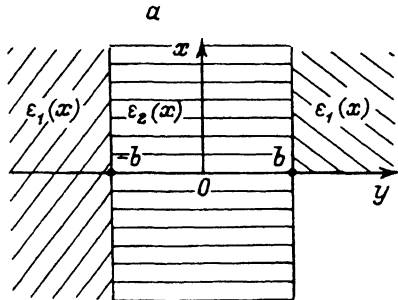
Двухмерное стационарное уравнение Шредингера

$$(\nabla_x^2 + \nabla_y^2 + \mu\varepsilon(x, y) - \lambda) \varphi(x, y) = 0 \quad (1)$$

с постоянными параметрами  $\mu$  и  $\lambda$  может описывать каналирование частиц в поле потенциала  $\varepsilon(x, y)$ , а также каналирование упругих и электромагнитных волн в неоднородных средах [1-3]. В этой связи практический интерес представляют решения уравнения (1), принадлежащие дискретному спектру собственных значений  $\lambda$ .

Ниже излагается приближенная процедура построения таких решений для потенциала специального вида  $\varepsilon(x, y) = \varepsilon_1(x)$  при  $|y| > b$ ,  $\varepsilon(x, y) = \varepsilon_2(x)$  при  $|y| \leq b$  (см. рисунок, а). В теории оптических волноводов, например, указанная зависимость потенциала от координат описывает класс планарных волноводов конечной ширины (прямоугольных в однородной среде, на подложке или внедренных в нее гребневых) и планарных волноводов, нагруженных полоской, и др.

Для прямоугольной потенциальной ямы  $\varepsilon_1(x) \equiv 0$ ,  $\varepsilon_2(x) = \text{const}$  при  $|x| \leq a$ ,  $\varepsilon_2(x) = 0$  при  $|x| > a$  известны численные методы [3-5] решения уравнения (1). В данной работе основная идея решения заключается в приближенном сведении уравнения (1) к одномерной задаче. Она осуществляется с помощью метода частичных областей и вариационного



Схематическое распределение потенциала в плоскости  $(x, y)$ , где вертикальные прямые  $y = \pm b$  являются граница частичных областей (а), и изображение полоски, включающей границу раздела частичных областей  $y = b$  (б).

принципа. В ряде частных случаев  $\varepsilon_1(x)$  и  $\varepsilon_2(x)$ , в том числе для прямоугольной потенциальной ямы, одномерная задача имеет аналитические решения. Для общего случая  $\varepsilon_1(x)$  и  $\varepsilon_2(x)$  показано, что вычисление собственного значения  $\lambda$  в принятом нулевом приближении совпадает с его вычислением методом самосопряженного поля [6].

### Формулировка задачи

Исходная идея решения уравнения (1) заключается в нахождении общих представлений искомой функции  $\varepsilon(x, y)$  в частичных областях и в последующем согласовании этих представлений на соответствующих границах раздела. Для нахождения упомянутых представлений воспользуемся методом разделения переменных. Для центральной частичной области  $|y| < b$ , учитывая свойство симметрии потенциала  $\varepsilon(x, y) = \varepsilon(x, -y)$ , положим

$$\varphi(x, y) = \varphi^{(2)}(x) \begin{Bmatrix} \cos vy \\ \sin vy \end{Bmatrix}. \quad (2)$$

Тогда из (1) следует, что

$$\left[ \nabla_x^2 + \mu \varepsilon_2(x) - (\lambda + v^2) \right] \varphi^{(2)}(x) = 0. \quad (3)$$

Решения  $\varphi^{(2)}(x)$ , принадлежащие действительным собственным значениям  $\lambda + v^2$ , образуют полный набор ортогональных функций. Поэтому из парциальных решений (2) можно образовать общее представление искомой функции при  $|y| < b$

$$\varphi(x, y) = \sum_n a_n^{(2)} \varphi_n^{(2)}(x) \begin{Bmatrix} \cos v_n y / \cos v_n b \\ \sin v_n y / \sin v_n b \end{Bmatrix}. \quad (4)$$

Аналогично для боковых частичных областей  $|y| > b$  можно записать

$$\varphi(x, y) = \sum_m a_m^{(1)} \varphi_m^{(1)}(x) \exp[-w_m(|y| - b)], \quad (5)$$

где функции  $\varphi_m^{(1)}(x)$  являются решениями уравнения

$$\left[ \nabla_x^2 + \mu \varepsilon_1(x) - (\lambda - w_m^2) \right] \varphi_m^{(1)}(x) = 0. \quad (6)$$

Следует отметить, что  $\varphi_n^{(2)}(x)$  и  $\varphi_m^{(1)}(x)$  могут принадлежать как дискретному, так и непрерывному спектрам собственных значений. Поэтому запись выражений (4), (5) является условной, подразумевающей как суммирование, так и интегрирование. Кроме того, использование разложений (4), (5) в конкретных расчетах имеет смысл в том случае, когда решения уравнений (3), (6) известны в аналитическом виде. Это условие выполняется, в частности, для кусочно-постоянных функций  $\varepsilon_1(x)$  и  $\varepsilon_2(x)$ , а также для некоторых непрерывных функций, представленных в работе [7]. Поэтому параметры  $v_n$  и  $w_m$ , входящие в разложения (4), (5), предполагаются известными функциями собственного значения  $\lambda$ .

Покажем теперь, что волновая функция  $\varphi(x) = \varphi(x, b)$  на границе частичных областей  $y = b$  определяет соответствующее решение задачи (1). Коэффициенты разложений (4), (5) для нормированных  $\varphi_n^{(2)}(x)$  и  $\varphi_m^{(1)}(x)$

$$a_n^{(2)} = \int \varphi(x) \varphi_n^{(2)}(x) dx, \quad a_m^{(1)} = \int \varphi(x) \varphi_m^{(1)}(x) dx$$

находятся из условия непрерывности  $\varphi(x, y)$  при  $y = b$ . Далее, исходя из функционала

$$\lambda = \iint [\mu \varepsilon \varphi^2 - (\nabla \varphi)^2] dx dy / \iint \varphi^2 dx dy, \quad (7)$$

стационарного на решениях уравнения (1), можно показать, что выражениями (4), (5) равенство (7) удовлетворяется тождественно при условии

$$\int \varphi(x) [\nabla_y \varphi(x, b-0) - \nabla_y \varphi(x, b+0)] dx = F(\lambda) = 0. \quad (8)$$

Это — характеристическое уравнение для нахождения собственных значений  $\lambda$ . Таким образом, в рассматриваемой задаче в рамках вариационного принципа можно пользоваться пробной функцией одной координаты, имеющей смысл волновой функции на границе раздела  $y = b$ . Если эта функция зависит от некоторого числа  $l$  параметров  $\gamma_i$  ( $i = 1, 2, \dots, l$ ), то из требования стационарности функционала (7)

$$\frac{\partial \lambda}{\partial \gamma_i} = 0 \quad (9)$$

получаются уравнения

$$\int \frac{\partial \varphi(x)}{\partial \gamma_i} [\nabla_y \varphi(x, b-0) - \nabla_y \varphi(x, b+0)] dx, \quad (10)$$

которое совместно с (8) определяет параметры  $\lambda$  и  $\gamma_i$ . Численное решение уравнений (8), (10) не вызывает принципиальных затруднений, и задача заключается в выборе  $\varphi(x, b)$ . Будем исходить из строгого разложения функции  $\varphi(x, b)$  по некоторому полному ортонормированному базису  $\varphi_k(x)$

$$\varphi(x, b) = \sum_k a_k \varphi_k(x).$$

Тогда вблизи границы  $y = b$

$$\varphi(x, y) = \sum_k \varphi_k(x) \psi_k(y),$$

где

$$\psi_k(y) = \int \varphi(x, y) \varphi_k(x) dx.$$

Развивая эту простую идею, вместо уравнений (8), (10) придем к однородной алгебраической системе бесконечного числа линейных уравнений относительно коэффициентов  $a_k$ . Равенство нулю детерминанта системы дает условие для нахождения параметра  $\lambda$ . При конкретных расчетах заданная точность вычисления  $\lambda$  определяет необходимое число уравнений из системы, причем это число зависит от выбора базисных функций  $\varphi_k(x)$ . Понятно, что с целью упрощения расчета число уравнений можно уменьшить без потери точности соответствующим выбором базиса  $\varphi_k(x)$ . Расчет предельно упрощается, если в разложении  $\varphi(x, b)$  можно ограничиться одним слагаемым. Именно этот случай является предметом дальнейшего анализа. Положим

$$\varphi(x, b) = A\varphi(x). \quad (11)$$

Здесь  $A$  — постоянная величина, а функция  $\varphi(x)$  нормирована на единицу. В соответствии с вышеизложенным для  $\varphi(x, y)$  при  $y \approx b$  имеем приближенное равенство

$$\varphi(x, y) = A\varphi(x)\psi(y), \quad (12)$$

где

$$A\psi(y) = \int \varphi(x, y) \varphi(x) dx, \quad \psi(b) = 1. \quad (13)$$

Теперь задача заключается в нахождении функций  $\varphi(x)$ , обеспечивающих наибольшую точность принятого приближения.

### **Уравнение относительно волновой функции на границе частичных областей**

Математическая формулировка задачи об отыскании оптимальных функций  $\varphi(x)$  может быть получена на основе вариационного принципа. Исходя из соображений простоты дальнейшего изложения, построим функционал

$$S = \iint \varphi(x, y) \left[ \nabla_x^2 + \nabla_y^2 + \mu \varepsilon(x, y) - \lambda \right] \varphi(x, y) dx dy, \quad (14)$$

стационарный на решениях задачи (1) при условии, что вариация  $\delta\lambda = 0$ . Отметим, что уравнения (8), (10) могут быть получены из (14) так же, как из (7). Подынтегральная функция в (14) обращается в нуль во всех точках плоскости  $(x, y)$ , за исключением границ раздела  $y = \pm b$ , поскольку выражения (4), (5) удовлетворяют (1) в частичных областях. Выделим вблизи границы  $y = b$  (см. рисунок, б) узкую (бесконечно узкую при  $\Delta \rightarrow 0$ ) полосу. В пределах этой полосы функция  $\varphi(x, y)$  определяется приближенным равенством (12), причем, как следует из (13),  $\varphi(y)$  и ее первая производная непрерывны при  $y = b$ , поскольку таким же свойством обладает точное решение  $\varphi(x, y)$ . Теперь вместо (14) для рассматриваемой полосы можно записать

$$\frac{S}{\Delta} = \frac{1}{\Delta} \int dx \int_{b-\Delta}^{b+\alpha\Delta} dy \varphi(x) \psi(y) \left[ \nabla_x^2 + \nabla_y^2 + \mu \varepsilon(x, y) - \lambda \right] \varphi(x) \psi(y). \quad (15)$$

Прежде чем перейти к отысканию условий, обеспечивающих экстремум функционала (15), отметим, что на границах полосы  $y = b - \Delta$  и  $y = b + \alpha\Delta$  ( $\alpha \geq 0$ ) функция  $\varphi(x, y)$  определяется выражениями (4), (5), удовлетворяющими уравнению (1). Это условие соответствует вариационной задаче с закрепленными концами. Поэтому для нахождения уравнений относительно искомым функций  $\varphi(x)$  и  $\varphi(y)$  будем считать, что при  $y = b - \Delta$ ,  $y = b + \alpha\Delta$  вариации  $\delta\psi(y)$  и  $\delta\nabla_y\psi(y)$  обращаются в нуль. Учитывая это обстоятельство и независимость вариаций  $\delta\varphi(x)$  и  $\delta\psi(y)$ , из (15) при  $\Delta \rightarrow 0$  получим

$$\left[ \nabla_x^2 + \mu \frac{\varepsilon_2(x) + \alpha\varepsilon_1(x)}{1 + \alpha} + \frac{\nabla_y^2\psi(b-0) + \alpha\nabla_y^2\psi(b+0)}{\psi(b)(1 + \alpha)} \right] \varphi(x) = 0, \quad (16)$$

$$\left[ \nabla_y^2 + \mu \int \varepsilon(x, y) \varphi^2(x) dx + \int \varphi(x) \nabla_x^2 \varphi(x) dx - \lambda \right] \varphi(y) = 0. \quad (17)$$

В выражениях (16), (17) учтено, что

$$\int \varphi^2(x) dx = (\varphi(x), \varphi(x)) = 1.$$

Аналогичный результат получается, если рассмотреть границу  $y = -b$ , что является следствием симметрии  $\varepsilon(x, y) = \varepsilon(x, -y)$ . Используя (17), уравнению (16) можно придать самосогласованный вид

$$\left\{ \nabla_x^2 + \mu \frac{\varepsilon_2(x) + \alpha\varepsilon_1(x)}{1 + \alpha} - \left[ (\varphi(x), \nabla_x^2 \varphi(x)) + \mu \frac{(\varepsilon_2(x) + \alpha\varepsilon_1(x), \varphi^2(x))}{1 + \alpha} \right] \right\} \varphi(x) = 0. \quad (18)$$

Здесь член, стоящий в квадратных скобках, представляет собой выражение собственного значения задачи (18) через решение  $\varphi(x)$ . Поэтому (18) можно переписать иначе

$$\left\{ \nabla_x^2 + \mu \left[ \varepsilon_1(x) + \gamma (\varepsilon_2(x) - \varepsilon_1(x)) \right] - u \right\} \varphi(x) = 0, \quad (19)$$

где  $\gamma = (1 + \alpha)^{-1}$ ,  $(0 \leq \gamma \leq 1)$ .

Следовательно, функция  $\varphi(x)$ , обеспечивающая наилучшую точность принятого приближения, является собственной функцией самосопряженной задачи (19), которая индуцирует полный ортогональный набор базисных функций, обсуждавшийся выше.

Таким образом, рассматриваемая задача (1) сводится к нахождению решений уравнения (19), зависящих от параметра  $\gamma$ , и двух характеристических уравнений (8), (10) относительно  $\lambda$  и  $\gamma$ . Объем вычислений при решении трансцендентных уравнений типа (8), (10) существенно зависит от выбора нулевого приближения. В рамках изложенной выше методики существует возможность сформулировать характеристические уравнения в нулевом приближении, значительно более простые, чем (8), (10).

### Характеристические уравнения в нулевом приближении

Учитывая определение  $\varepsilon(x, y)$  запишем уравнение (17) в компактной форме

$$\left[ \nabla_y^2 + \sigma \theta (1 - y/b) - \rho \right] \psi(y) = 0. \quad (20)$$

Здесь введены обозначения  $\sigma = \mu(\varepsilon_2(x) - \varepsilon_1(x), \varphi^2(x))$ ,  $\rho = \lambda - (\varphi(x), \nabla_x^2 \varphi(x)) - \mu(\varepsilon_1(x), \varphi^2(x))$ ,  $\theta(1 - y/b) = 1$  при  $y \leq b$ ,  $\theta(1 - y/b) = 0$  при  $y > b$ . Теперь используем функционал (15), принимая во внимание, что на решениях уравнений (16), (17) или (19), (20) он обращается в нуль. Это позволяет из (15) с учетом (19), (20) получить явный вид собственного значения задачи (1)

$$\lambda = u + \rho - \sigma \gamma. \quad (21)$$

Возьмем выражение (21) в качестве исходного и зададимся целью отыскать четыре независимых уравнения относительно четырех параметров, стоящих в правой части (21). Решение уравнения (19) определяет зависимость

$$u = u(\gamma). \quad (22)$$

Для нахождения второго уравнения продифференцируем (19) по параметру  $\gamma$ , умножим на  $\varphi(x)$  и проинтегрируем по всей области изменения  $x$ . В результате получим

$$\frac{\partial u}{\partial \gamma} = \mu(\varepsilon_2(x) - \varepsilon_1(x), \varphi^2(x)) = \sigma. \quad (23)$$

Теперь используем условие экстремума (9), при котором ищутся решения системы (8), (10). Дифференцируя (21) и учитывая (23), имеем

$$\frac{\partial u}{\partial \gamma} + \frac{\partial \rho}{\partial \gamma} - \sigma - \gamma \frac{\partial \sigma}{\partial \gamma} = \sigma + \frac{\partial \rho}{\partial \sigma} \frac{\partial \sigma}{\partial \gamma} - \sigma - \gamma \frac{\partial \sigma}{\partial \gamma}.$$

Отсюда при  $\partial \rho / \partial \gamma \neq 0$  следует

$$\frac{\partial \rho}{\partial \sigma} = \gamma. \quad (24)$$

Четвертое уравнение можно получить, решая (20) и учитывая, что  $\psi(y)$  определяется выражением (13). Как видно из (4), при  $|y| < b$  существуют независимые четные и нечетные по  $y$  решения. Поэтому в соответствии с (13) решения уравнения (20) обладают свойством  $\psi(-y) = \pm \psi(y)$ . Кроме того, в соответствии с (13)  $\psi(b) = 1$ . Этим требованиям удовлетворяют два независимых решения уравнения (20)

$$\psi_1(y) = \frac{\cos \sqrt{\sigma - \rho} y}{\cos \sqrt{\sigma - \rho} b}, \quad \psi_0 = \frac{\sin \sqrt{\sigma - \rho} y}{\sin \sqrt{\sigma - \rho} b}.$$

Для области  $y > b$  функция  $\psi(y)$  задается выражениями (5) и (13), из которых видно, что при экстраполяции  $\psi(y)$  в область больших значений  $y$  величина  $\psi(y) \rightarrow 0$ . Этому условию при  $\psi(b) = 1$  удовлетворяет единственное решение уравнения (20)

$$\psi(y) = \exp \left[ -\sqrt{\rho} (y - b) \right].$$

Требование непрерывности функции  $\nabla_y \psi(y)$  на границе  $y = b$  приводит к уравнениям

$$\operatorname{tg} \sqrt{\sigma - \rho} b = \frac{\sqrt{\rho}}{\sqrt{\sigma - \rho}}, \quad \operatorname{ctg} \sqrt{\sigma - \rho} b = -\frac{\sqrt{\rho}}{\sqrt{\sigma - \rho}} \quad (25)$$

соответственно для четных и нечетных по  $y$  решений.

По сравнению с системой (8), (10) уравнения (22)–(25) значительно проще и их решения, например, для кусочно-постоянных  $\varepsilon_1(x)$  и  $\varepsilon_2(x)$ , могут быть получены на микрокалькуляторе. Приемлемость описанного нулевого приближения для вычисления собственного значения  $\lambda$  подтверждается его тождественностью с вычислением  $\lambda$  методом самосогласованного поля, что устанавливается ниже.

### Связь нулевого приближения с результатом метода самосогласованного поля

Метод самосогласованного поля [6,8] принято использовать для расчета многочастичных систем. Формально уравнение (1) можно рассматривать как двухчастичное, описывающее одномерное движение двух частиц: одной — вдоль оси  $0x$ , а другой — вдоль  $0y$  с потенциалом

взаимодействии  $\varepsilon(x, y)$ . В соответствии с методом самосогласованного поля волновая функция двух частиц  $\varphi(x, y)$  представляется в виде произведения волновых функций отдельных частиц

$$\varphi(x, y) = X(x)Y(y). \quad (26)$$

Здесь, как в предыдущих разделах, функция  $\varphi(x, y)$  без нарушения общности предполагается действительной. Подставляя выражение (26) в функционал (14) или (7), из условия стационарности  $\delta S = \delta \lambda = 0$  получается система интегродифференциальных уравнений

$$\left\{ \nabla_x^2 + \mu \left[ \varepsilon_1(x) + \gamma (\varepsilon_2(x) - \varepsilon_1(x)) \right] - \bar{u} \right\} X(x) = 0, \\ \left[ \nabla_y^2 + \bar{\sigma} \theta(1 - y/b) \theta(1 + y/b) - \bar{\rho} \right] Y(y) = 0, \quad (27)$$

где

$$\bar{\gamma} = \int_{-b}^b Y^2 dy, \quad \bar{u} = \lambda - \int_{-\infty}^{\infty} Y \nabla_y^2 Y dy, \\ \bar{\sigma} = \mu \int X^2 (\varepsilon_2 - \varepsilon_1) dx, \quad \bar{\rho} = \lambda - \int X \nabla_x^2 X dx - \mu \int X^2 \varepsilon_1 dx, \quad (28)$$

$\theta(z)$  — функция Хевисайда,  $X(x)$  и  $Y(y)$  нормированы на единицу.

Представление решения в виде (26) соответствует процедуре приближенного разделения переменных в уравнении (1), а использование вариационного принципа, приводящего (1) к системе (27), (28), обеспечивает оптимизацию этой процедуры. Поэтому описанный подход к решению уравнения (1) можно назвать методом оптимального разделения переменных [9]. Он применим и в случае трехмерного уравнения Шредингера с неразделяющимися переменными. Система интегродифференциальных уравнений (27), (28) может быть решена методом итераций [8, 10]. Однако в данном случае приемлем более простой путь решений. При условиях (27) функционал (14) равен нулю. Учитывая это и определение параметров (28), получаем выражение для собственного значения задачи (1)  $\lambda = \bar{u} + \bar{\rho} - \bar{\gamma}\bar{\sigma}$ , которое при заменах  $\bar{u}, \bar{\rho}, \bar{\gamma}, \bar{\sigma} \rightarrow u, \rho, \gamma, \sigma$  совпадает с формулой (21). Функционал (7) дает тот же результат. Покажем теперь, что при указанных заменах параметры  $\bar{u}, \bar{\rho}, \bar{\gamma}, \bar{\sigma}$  удовлетворяют уравнениям (22)–(25).

Как видно, уравнение (19) с точностью до обозначений совпадает с первым уравнением из (27), поэтому характеристическое уравнение, устанавливающее связь параметров  $\bar{u}$  и  $\bar{\gamma}$ , совпадает с (22). Далее, дифференцируя обе части первого равенства из (27) по  $\bar{\gamma}$ , умножая на  $X(x)$  затем интегрируя по всей области переменной  $x$  и учитывая определение  $\bar{\sigma}$ , получим формулу (23). Аналогичная процедура со вторым уравнением из (27) приводит к выражению (24). Аналитические решения этого уравнения хорошо известны и параметры  $\bar{\rho}, \bar{\sigma}$  для четных и нечетных по  $y$  решений связаны соотношениями (25). Следовательно, в рассматриваемом случае собственные значения задачи (1), вычисленные методом самосогласованного поля и в нулевом приближении, описанном в предыдущем разделе, совпадают.



Изложенная методика сводит задачу (1) с потенциалом специального вида к одномерной задаче (19) и двум уравнениям (8), (10) относительно параметров  $\lambda$  и  $\gamma$ . Функция  $\varphi(x)$ , удовлетворяющая (19), при вычислениях  $\lambda$  и  $\gamma$  однозначно определяет коэффициенты разложения волновой функции (4), (5) в частичных областях. В упрощенном варианте, названном нулевым приближением, собственные значения  $\lambda$  находятся по формуле (21), где параметры  $u, \rho, \gamma, \sigma$  удовлетворяют системе уравнений (22)–(25). Вычисленные таким образом значения  $\lambda$  для различных состояний совпадают с соответствующими значениями, найденными методом самосогласованного поля.

В работах [3–5] для прямоугольной потенциальной ямы ( $\varepsilon_1(x) \equiv 0$ ;  $\varepsilon_2(x) = \text{const}$  при  $|x| \leq a$ ,  $\varepsilon_2(x) = 0$  при  $|x| > a$ ) с отношением боковых сторон  $b/a = 2$  представлены функциональные зависимости  $\lambda/\mu = f(a\sqrt{\mu})$  для низших состояний, полученные численными методами. Расчет системы (22)–(25) на микрокалькуляторе показывает практически полное совпадение указанных зависимостей с результатами наиболее точного из известных метода [5].

### Список литературы

- [1] Брезовский Л.М. Волны в слоистых средах. М.: Наука, 1973. 436 с.
- [2] Goell J.P. // Bell Syst. Techn. J. 1969. Vol. 48. N 9. P. 2133–2166.
- [3] Matsuhara M. // JOSA. 1973. Vol. 63. N 12. P. 1514–1517.
- [4] Гоэлл Дж. // Введение в интегральную оптику. М.: Мир, 1977. С. 60.
- [5] Euges L., Giampino P., Winterstener P. // J. Opt. Soc. Amer. 1979. Vol. 69. N 9. P. 1226–1235.
- [6] Фок В.А. Начала квантовой механики. М.: Наука, 1976. 376 с.
- [7] Гончаренко А.М., Карпенко В.А., Могилевич В.Н. // ТМФ. 1991. Т. 88. № 1. С. 59–65.
- [8] Слэтэр Дж. Методы самосогласованного поля для молекул и твердых тел. М.: Мир, 1978. 665 с.
- [9] Гончаренко А.М., Карпенко В.А., Могилевич В.Н., Сотский А.Б. // ДАН БССР. 1985. Т. 29. № 2. С. 127.
- [10] Давыдов А.С. Квантовая механика. М.: Наука, 1963. 748 с.